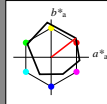


Eingabe: Farbmimetrisches Reflexions-System ORS18

für Buntton $h^* = lab^*h = 38/360 = 0.105$
 lab^*ch und lab^*nch

D65: Buntton O
LCH*Ma: 48 83 38
rgb*Ma: 1.0 0.0 0.0

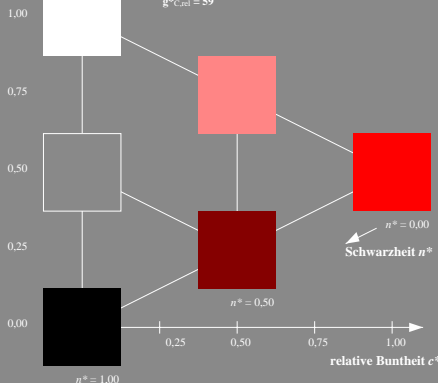
Dreiecks-Helligkeit t^*



%Umfang
 $u^*_{rel} = 93$
%Regularität
 $g^*_{H,rel} = S7$
 $g^*_{C,rel} = S9$

ORS18; adaptierte CIELAB-Daten

	$L^*=L^*_a$	a^*_a	b^*_a	$C^*_{ab,a}$	$h^*_{ab,a}$
RMa	47.94	65.37	50.52	82.62	38
JMa	90.37	-10.27	91.77	92.34	96
GMa	50.9	-62.79	34.95	71.87	151
G50BMa	58.62	-30.35	-45.01	54.3	236
BMa	25.71	31.11	-44.42	54.24	305
B50RMa	48.13	75.27	-8.35	75.73	354
NMa	18.01	0.0	0.0	0.0	0
WMa	95.41	0.0	0.0	0.0	0
RcIE	39.92	58.66	26.98	64.56	25
JcIE	81.26	-2.17	67.76	67.79	92
GcIE	52.23	-42.26	11.75	43.87	164
BcIE	30.57	1.15	-46.84	46.87	271

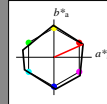


Ausgabe: Farbmimetrisches Reflexions-System NRS11

für Buntton $h^* = lab^*h = 24/360 = 0.067$
 lab^*ch und lab^*nch

D65: Buntton R
LCH*Ma: 53 84 24
rgb*Ma: 1.0 0.0 0.0

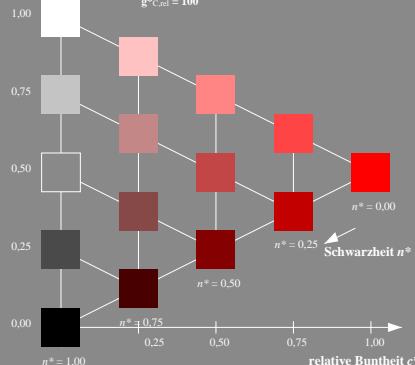
Dreiecks-Helligkeit t^*



%Umfang
 $u^*_{rel} = 119$
%Regularität
 $g^*_{H,rel} = 47$
 $g^*_{C,rel} = 100$

NRS11; adaptierte CIELAB-Daten

	$L^*=L^*_a$	a^*_a	b^*_a	$C^*_{ab,a}$	$h^*_{ab,a}$
RMa	53.2	77.06	34.32	84.36	24
JMa	53.2	-1.51	84.38	84.39	91
GMa	53.2	-82.27	18.98	84.44	167
G50BMa	53.2	-77.72	-32.98	84.44	203
BMa	53.2	4.37	-84.28	84.41	273
B50RMa	53.2	69.09	-48.41	84.37	325
NMa	10.99	0.0	0.0	0.0	0
WMa	95.41	0.0	0.0	0.0	0
RcIE	39.92	58.69	27.98	65.01	25
JcIE	81.26	-2.9	71.56	71.62	92
GcIE	52.23	-42.45	13.59	44.59	162
BcIE	30.57	1.35	-46.48	46.51	272



TG62-7, 3stufige Reihen für konstanten CIELAB Buntton 38/360 = 0.105 (links)

5stufige Reihen für konstanten CIELAB Buntton 24/360 = 0.067 (rechts)

BAM-Prüfvorlage TG62; Farbmimetrik-Systeme ORS18 & NRS11 input: `olv* setrgbcolor`
D65: 3 und 5stufige Farbreihen für 10 Bunttöne

output: `olv* setrgbcolor / w* setgray`